



银领工程系列

模拟电子技术

林春方 杨建平 主编



高等教育出版社
Higher Education Press

银领工程系列

模拟电子技术

林春方 杨建平 主编

高等教育出版社

内容提要

本书内容简明、文字精练,重点突出,便于自学。以现代电子技术的基本知识、基本理论为主线,使电子技术的基本理论与各种新技术有机地结合在一起;以培养学生的工作能力为目的,将理论知识的讲授、课内讨论、作业与技能训练有机结合、融为一体,使能力培养贯穿于整个教学过程。主要内容包括常用半导体器件、双极型晶体管放大电路、负反馈放大电路、集成运算放大器、波形发生器、直流稳压电源等。每章都有电路调整与测试的技能训练项目。技能训练内容丰富、实用,并引入计算机仿真工具EWB。

本书可作为高等职业院校、高等专科院校、成人高校、民办高校及本科院校举办的二级职业技术学院电子信息类、通信类及相关专业的教学用书,也适用于五年制高职、中职相关专业,并可作为社会从业人士的业务参考书及培训用书。

图书在版编目(CIP)数据

模拟电子技术 / 林春方, 杨建平主编. —北京: 高等教育出版社, 2006. 5

ISBN 7-04-019226-8

I. 模... II. ①林... ②杨... III. 模拟电路 - 电子技术 - 高等学校 : 技术学校 - 教材 IV. TN710

中国版本图书馆 CIP 数据核字(2006)第 027529 号

策划编辑 孙杰

责任编辑 欧阳舟

封面设计 王凌波

责任绘图 朱静

版式设计 胡志萍

责任校对 朱惠芳

责任印制 韩刚

出版发行 高等教育出版社

社 址 北京市西城区德外大街 4 号

邮政编码 100011

总 机 010-58581000

购书热线 010-58581118

免费咨询 800-810-0598

网 址 <http://www.hep.edu.cn>

<http://www.hep.com.cn>

经 销 蓝色畅想图书发行有限公司

网上订购 <http://www.landraco.com>

印 刷 北京鑫丰华彩印有限公司

<http://www.landraco.com.cn>

畅想教育 <http://www.widedu.com>

开 本 787×1092 1/16

版 次 2006 年 5 月第 1 版

印 张 12.75

印 次 2006 年 5 月第 1 次印刷

字 数 300 000

定 价 15.20 元

本书如有缺页、倒页、脱页等质量问题,请到所购图书销售部门联系调换。

版权所有 侵权必究

物料号 19226-00

前　　言

“模拟电子技术”是电子信息类和通信类专业入门性质的重要技术基础课程,也是一门实践性很强的课程,本课程的学习目标是使学生掌握电子技术方面的基本理论、基础知识和基本技能,培养学生分析问题和解决问题的能力,并为学习后续课程和今后在实际工作中应用电子技术打好基础。

根据高职高专培养目标的要求以及现代科学技术发展的需要,本书以现代电子技术的基本知识、基本理论为主线,使电子技术的基本理论与各种新技术有机地结合在一起,以培养学生的工作能力为目的;将理论知识的讲授、课内讨论、作业与技能训练有机结合、融为一体,使能力培养贯穿于整个教学过程。每章都有电路调整与测试的技能训练项目。技能训练内容丰富、实用,并引入计算机仿真工具 EWB。在编写过程中,按高职教材在理论上“必需”、“够用”的原则,着重讲清物理概念,避免繁琐的理论计算和推导,着重介绍比较实用的工程计算和近似估算方法,使教材在内容上做到清楚、准确、简洁,通俗易懂,可读性好。

通过本课程的教学,应使学生达到如下基本要求:

1. 熟悉常用电子元器件的特性和主要参数,具有识别元器件和检测器件的能力,具有查阅器件手册和正确选用器件的能力。
2. 掌握常用基本单元电路和典型电路的结构、工作原理和功能,熟练掌握分析电子电路的基本方法,能对电子电路进行定性分析和工程估算,具有根据需要选择适用电路和使用集成电路的能力。
3. 具有识读整机电路图的能力。
4. 掌握电子技术的基本技能,具有实际操作的能力。

本书由安徽电子信息职业技术学院林春方,无锡职业技术学院杨建平担任主编,林春方负责全书的统稿工作,并编写了第五章、第六章;曹光跃编写了第三章、第四章和附录 B;方庆山编写了附录 C;杨建平编写了第一章、第二章。北京理工大学刘蕴陶老师认真审阅了本书的全部书稿,并提出了宝贵的建议和修改意见。在编写过程中,还得到安徽电子信息职业技术学院的领导和老师的大力支持,在此一并表示衷心的谢意。

由于编者水平有限,错误之处在所难免,恳请读者批评指正。

编　　者
2005 年 10 月

本书常用符号说明

一、下标符号意义

- i、o 分别表示输入和输出量
- s、f 分别表示信号源量和反馈量
- L 负载
- REF 基准值

二、常用符号意义

1. 放大倍数与增益

- A 放大倍数、增益通用符号
- A_u 电压放大倍数、增益
- A_{ud} 差模电压放大倍数、增益
- A_{us} 源电压放大倍数、增益

2. 电阻

- R 直流电阻或静态电阻
- r 交流电阻或动态电阻
- R_p 电位器
- R_i 输入电阻
- R_o 输出电阻
- R_s 信号源电阻
- R_L 负载电阻
- R_f 反馈电阻

3. 电容、电感

- C 电容通用符号
- C_b 、 C_e 分别为基极、发射极旁路电容
- C_s 源极旁路电容
- C_j PN 结结电容

4. 频率与通频带

- F 、 f 频率通用符号
- Ω 、 ω 角频率通用符号
- f_H 电路高频截止频率(上限频率)
- f_L 电路低频截止频率(下限频率)

f_T 特征频率

BW 3 dB 通频带

BW_G 单位增益带宽

5. 功率与效率

P_o 输出功率

P_{DC} 直流电源供给功率

P_c 集电极耗散功率

P_{CM} 集电极最大允许耗散功率

η 效率

6. 其它

F 反馈系数

F_u 电压反馈系数

H 双端口网络混合参数

K 乘法器增益系数

K_{CMR} 共模抑制比

Q 静态工作点、品质因数

V 二极管、双极型晶体管和场效晶体管

T, t 时间、周期、温度

φ 相角

三、 $U(I)$ 不同书写体电压(电流)符号的规定

1. 大写 $U(I)$ 大写下标, 表示直流电压(电流)值, 例如 U_{BE} 表示基极与发射极之间的直流电压。
2. 大写 $U(I)$ 小写下标, 表示交流电压(电流)的有效值, 例如 U_{be} 表示基极与发射极之间的交流电压的有效值。
3. 小写 $u(i)$ 大写下标, 表示含有直流电压(电流)的总瞬时值, 例如, u_{BE} 表示基极与发射极之间电压的瞬时值。
4. 小写 $u(i)$ 小写下标, 表示交流电压(电流)的瞬时值, 例如 u_{be} 表示基极与发射极之间交流电压的瞬时值。
5. 大写 $U(I)$ 小写 m 下标, 表示交流电压(电流)的最大值, 例如, I_{cm} 表示集电极交流电流的最大值。
6. 大写 V 大写双字母下标, 表示直流供电电源电压, 例如, V_{cc} 表示集电极直流供电电源电压。

注:物理量用斜体。

目 录

第一章 常用半导体器件	1
第一节 半导体的基础知识	1
第二节 二极管	5
第三节 双极型晶体管	14
第四节 场效晶体管(FET)	20
第五节 晶闸管	27
技能训练1 元器件的识别与检测	30
本章小结	40
习题	40
第二章 双极型晶体管放大电路	43
第一节 放大电路的基本概念	43
第二节 单管共射极放大电路	46
第三节 共集电极电路和共基极电路	55
第四节 场效晶体管放大电路	58
第五节 差分放大电路	60
第六节 功率放大电路	63
技能训练2 基本放大电路的调整与测试	69
技能训练3 功率放大电路的调整与测试	70
本章小结	72
习题	73
第三章 负反馈放大电路	77
第一节 反馈放大电路的基本概念	77
第二节 反馈的分类与判断	78
第三节 负反馈对放大电路性能的影响	82
第四节 放大电路引入负反馈的一般原则	86
技能训练4 负反馈放大电路的调整 与测试	86
本章小结	89
习题	89
第四章 集成运算放大器	91
第一节 集成电路与集成运算放大器简介	91
第二节 理想集成运放及其特点	93
第三节 集成运算放大器的典型运用	94
第四节 集成运算放大器的主要参数和 使用注意事项	103
技能训练5 集成运算放大器的调整 与测试	105
本章小结	108
习题	109
第五章 波形发生器	112
第一节 正弦波发生器	112
第二节 非正弦波发生器	125
技能训练6 正弦波信号发生器的调整 与测试	132
本章小结	134
习题	135
第六章 直流稳压电源	137
第一节 单相整流滤波电路	137
第二节 串联型稳压电路	143
第三节 三端集成稳压器	145
第四节 开关稳压电源	149
技能训练7 直流稳压电源的调整 与测试	152
本章小结	155
习题	155
附录 A 半导体器件型号命名 方法	157
附录 B 常用电子元器件的 使用知识	160
附录 C 模拟电子技术 EWB 仿真实验	168
参考文献	193

第一章

常用半导体器件

学习目标

- 了解本征半导体、杂质半导体及 PN 结的导电机理
- 掌握二极管、稳压管的伏安特性曲线、基本参数
- 掌握双极型晶体管、场效晶体管的特性曲线、基本参数及它们之间的差别
- 掌握半导体器件的认知和基本参数的测试,以提高实践应用能力

第一节 半导体的基础知识

自然界中的物质根据导电能力的不同分为导体、绝缘体和半导体。常用的导体一般为银、铜、铝等物体;绝缘体为橡胶、塑料、胶木等;导电能力介于导体和绝缘体之间的物质称为半导体。在自然界中属于半导体的物质很多,用来制造半导体器件的材料主要是硅(Si)、锗(Ge)和砷化镓(GaAs)等,由于硅的温度特性较好,因而应用得最为广泛。

将上述的半导体材料进行特殊加工,使其性能可控,即可用来制造构成电子电路的基本元件——半导体器件。

一、本征半导体

完全纯净的具有晶体结构的半导体称为本征半导体。

用于制造半导体器件的四价元素硅和锗,其最外层原子轨道上有 4 个电子(称为价电子)。经过单晶化后,由于原子排列的有序性,价电子为相邻的原子所共有,形成图 1-1 所示的共价键结构,图中 +4 代表四价元素原子核和内层电子所具有的净电荷。共价键中的价电子,将受共价键的束缚。在室温或光照下,少数价电子可以获得足够的能量摆脱共价键的束缚而成为自由电子,同时在共价键中留下一个空穴,即产生电子-空穴对。这种现象称为本征激发或热激发。

自由电子可以自由运动,而空穴本身虽不能移动,但空穴很容易吸引邻近共价键中的价电子去填补,使空穴发生转移,这种价电子填补空位的运动可以看成空穴在运动,但其运动方向与价电子运动方向相反,因而可以认为空穴也是带一个单位正电荷且可以自由运动。此外自由电子

和空穴在运动中相遇时会重新结合而成对消失,这种现象称为复合。当温度一定时,自由电子和空穴的产生与复合将达到动态平衡,这时电子-空穴对的浓度基本一定。

在电场作用下,自由电子和空穴将作定向运动,这种运动称为漂移运动,所形成的电流称为漂移电流。自由电子称电子载流子,空穴称空穴载流子。因此,半导体中有自由电子和空穴两种载流子参与导电,分别形成电子电流和空穴电流。

在常温下本征半导体载流子浓度很低,因此导电能力很弱。本征半导体的导电能力与环境温度、光照强度密切相关,可以利用它来制作热敏和光敏器件,同时此特性又是半导体器件温度稳定性差的原因。

二、杂质半导体

为了提高半导体的导电能力,可在本征半导体中掺入微量杂质元素,掺杂后的半导体称为杂质半导体。按掺入杂质的不同可分为N型半导体和P型半导体。

(一) N型半导体

在纯净的硅(或锗)中掺入微量五价元素(如磷P、砷As、锑Sb等)杂质后,杂质原子替代了晶格中某些四价元素原子的位置,就形成了N型半导体,如图1-2(a)所示。

由于杂质原子最外层有5个电子,它与周围的四价元素原子结合成共价键时多余1个价电子,该价电子在常温下就能挣脱共价键的束缚成为自由电子,杂质原子则变成带正电荷的不能移动的离子,称这类杂质原子为施主原子。杂质的掺入使自由电子的浓度大大增加,同时也使本征激发产生的空穴被复合的机会增多,使空穴浓度大大减少。所以自由电子为多数载流子(简称多子),空穴为少数载流子(简称少子)。

N型(或电子型)半导体主要靠自由电子导电,掺入杂质的浓度越高,自由电子(多子)的浓度就越高,导电能力也就越强。

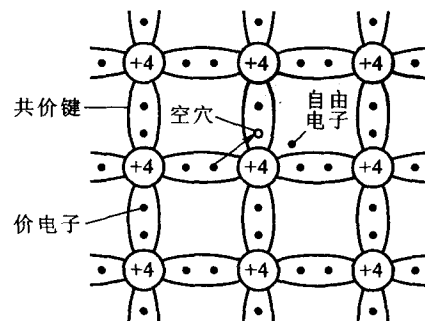


图1-1 本征半导体的原子结构及本征激发示意图

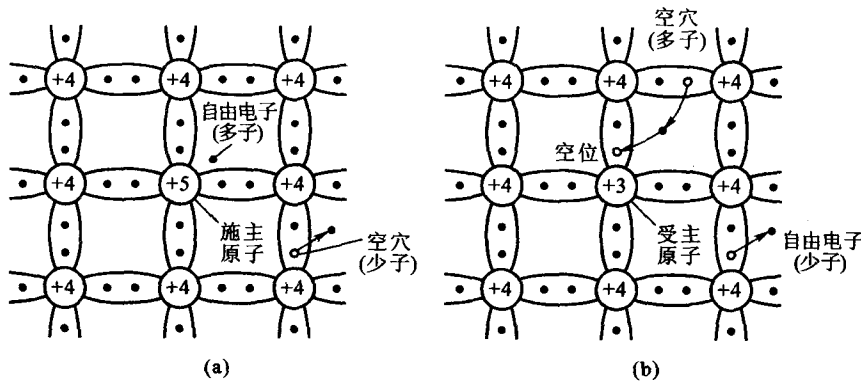


图1-2 杂质半导体结构示意图

(a) N型半导体 (b) P型半导体

(二) P型半导体

在纯净的硅(或锗)中掺入三价微量元素(如硼B、铝Al、铟In等)杂质后,杂质原子与周围的四价元素原子形成共价键时因缺少1个价电子而产生1个空位,常温下这个空位极容易被邻近共价键中的价电子所填补,使杂质原子变成不能够移动的负离子,称这类杂质原子为受主原子,如图1-2(b)所示,这种掺杂使空穴的浓度大大增加,而使空穴成为多子,自由电子为少子。称多数载流子为空穴的半导体为P型(或空穴型)半导体。导电时主要以空穴为主。

必须指出:杂质半导体中载流子(电子和空穴)虽有多少之分,但除此之外,还有不能移动的杂质离子,因而整个半导体仍呈电中性。

三、PN结

(一) PN结的形成

如果采用特定的制造工艺,在同一块半导体基片的两边分别形成N型和P型半导体,则在它们的交界面就形成了PN结。下面介绍PN结形成的物理过程。

由于在P型半导体和N型半导体交界面两侧存在着空穴和自由电子两种载流子浓度差,即P区的空穴浓度远大于N区空穴浓度,N区的电子浓度远大于P区的电子浓度,因此会产生载流子从高浓度区向低浓度区的运动,这种运动称为扩散,如图1-3(a)所示。P区中的多子空穴扩散到N区,与N区中的自由电子复合而消失;N区中的多子电子向P区扩散并与P区中的空穴复合而消失。结果交界面附近的P区因失去空穴而留下不能移动的负离子,同样N区因失去电子而留下不能移动的正离子,这样在交界面两侧就出现了数量相等的正、负离子组成的空间电荷

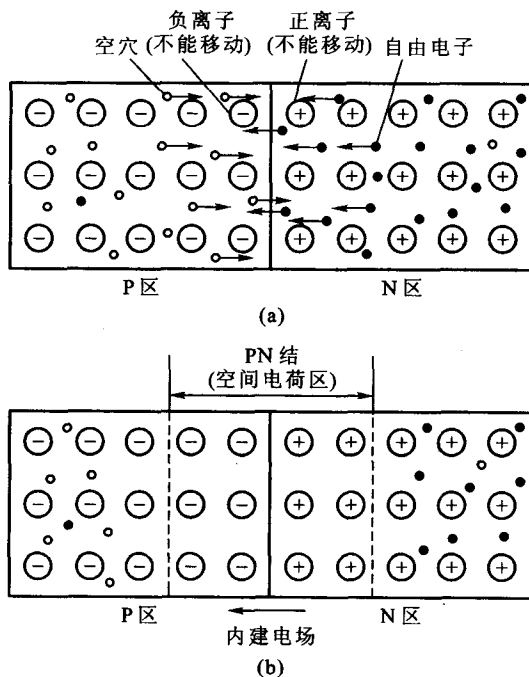


图1-3 PN结的形成

(a)载流子的扩散 (b)动态平衡时的PN结

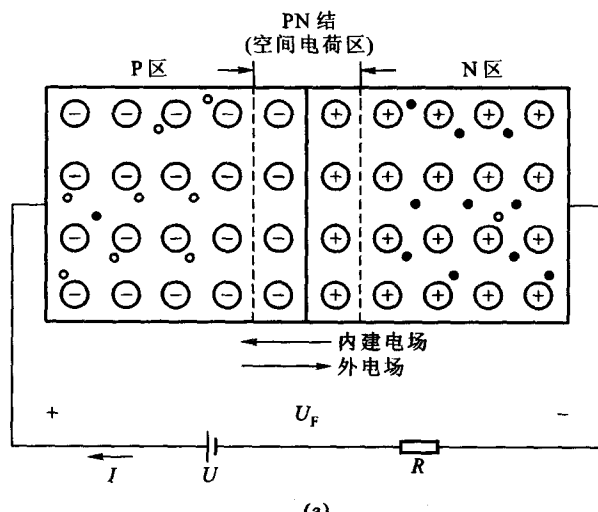
区。在这个区域内载流子被扩散了，因而也称此区为耗尽层。

在空间电荷区内带正电的N区和带负电的P区产生了一个由N区指向P区的内建电场。该电场一方面阻碍多子的扩散运动，使空间电荷区变窄，从这个角度上又可称PN结为阻挡层；另一方面促使两个区靠近交界面处的少子产生漂移运动，又使空间电荷区变窄。当外部条件一定时，扩散运动和漂移运动最终达到动态平衡，这时空间电荷区的宽度一定，内电场一定，形成了所谓的PN结。

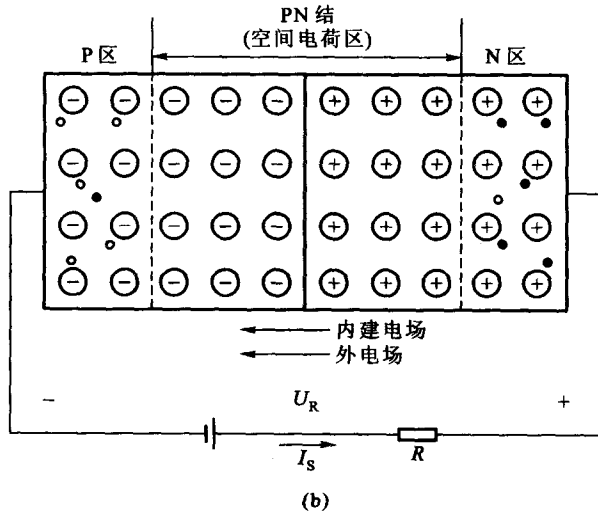
(二) PN结的单向导电特性

1. 外加正向电压(又称正向偏置，简称正偏)

正向偏置即外加电压的正极接P区一侧、负极接N区一侧，如图1-4(a)所示。此时PN结经历了以下过程：



(a)



(b)

图1-4 PN结的单向导电性

(a) 正向偏置 - 导通 (b) 反向偏置 - 截止

PN 结正偏电压达到一定值时,外电场和内建电场方向相反,因而削弱内建电场,空间电荷减少,PN 结变窄,有利于多子的扩散运动而不利于少子的漂移运动,多子的扩散运动形成较大的扩散电流(即正向电流),即 PN 结呈现出低阻抗。

外加正向电压有微小的变化,便能使正向电流发生显著变化。一般为了限制正向电流值,通常在回路中串入限流电阻 R 。

2. 外加反向电压(又称反向偏置,简称反偏)

反向偏置即外加电压的正极接 N 区一侧、负极接 P 区一侧,如图 1-4(b) 所示。它形成了以下过程。

PN 结反偏电压时外电场和内建电场方向相同,因而增强内建电场,空间电荷增多,PN 结变宽,因而不利于多子的扩散运动而有利于少子的漂移运动,少子的漂移运动形成极小的漂移电流(即反向电流),即 PN 结呈现高阻抗。

由于少数载流子由本征激发产生,温度一定时,少子浓度将基本不变,因而反向电流几乎不随外加电压变化,故又称此反向电流为反向饱和电流。反向电流很小,一般为微安级,一般情况下相对于正向电流可以忽略不计。

综上所述,PN 结具有单向导电特性。即 PN 结正偏时导通,呈现很小的电阻,可形成较大的正向电流;PN 结反偏时截止,呈现很大的电阻,反向电流近似为零。

需要指出的是,反向电压超过一定数值后,反向电流将急剧增加,发生反向击穿现象,单向导电性被破坏。

第二节 二极管

一、二极管的结构

将 PN 结用外壳封装起来,并加上电极引线就构成了二极管,电路符号如图 1-5(a) 所示。由 P 区引出的电极称正极(或阳极),由 N 区引出的电极称负极(或阴极),电路符号中的箭头方向为 P 区指向 N 区,也表示正向电流的流动方向。

二极管按材料不同可分为锗二极管、硅二极管、砷化镓二极管等。按结构不同可分为点接触型二极管、面接触型二极管和平面型二极管。按用途分有整流二极管、检波二极管、变容二极管、稳压二极管、开关二极管、发光二极管等。

点接触型二极管:PN 结由细金属铝丝和 N 型半导体烧结而成,结构如图 1-5(b) 所示。它的特点是 PN 结面积很小,因而结电容(一般在 1 pF 以下)小,适用于高频(几百兆赫)电路。但它不能通过很大的电流,也不能承受高的反向电压。主要用于小电流整流和高频检波,也适用于开关电路。例如 2AP1 是点接触型锗二极管,其最大整流电流为 16 mA,最高工作频率为 150 MHz,但最高反向工作电压只有 20 V。

面接触型二极管:PN 结是用合金法工艺做成的,其结构如图 1-5(c) 所示。它的特点是 PN 结面积大,可通过较大的电流,但结电容也大,主要用于整流电路,但工作频率较低。例如 2CZ53C 为面接触型硅二极管,其最大整流电流为 300 mA,最大反向工作电压为 100 V,而最高工作频率只有 3 kHz。

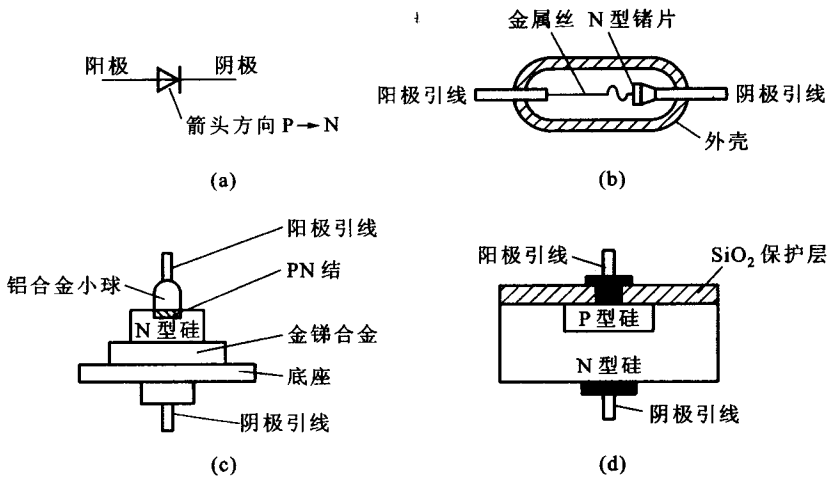


图 1-5 二极管的符号和几种结构
(a) 电路符号 (b) 点接触型 (c) 面接触型 (d) 平面型

平面型二极管:PN 结是用扩散法工艺做成的,如图 1-5(d) 所示。它的特点是,结面积较大时,能通过较大的电流,适用于大功率整流;结面积较小时,工作频率较高,适用于开关电路。

常见二极管的外形如图 1-6 所示。

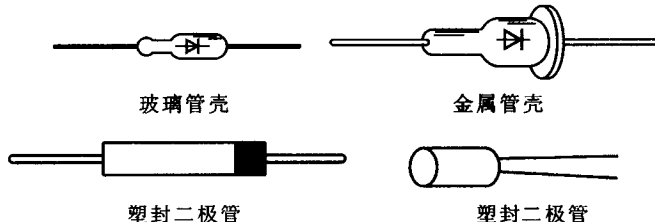


图 1-6 常见二极管的外形

二、二极管的伏安特性

二极管由一个 PN 结构成,因此,它同样具有单向导电特性。其两端电压 u_p 和通过的电流 i 可以用伏安特性曲线表示,如图 1-7 所示就是硅和锗两种二极管的伏安特性曲线,它们可以分成三部分来讨论。

1. 正向特性

当二极管两端外加正向电压时,应该产生正向电流。但从伏安特性曲线上看到,当外加的正向电压小于阈值电压 U_{th} (锗管的 U_{th} 约为 0.1 V, 硅管的 U_{th} 约为 0.5 V) 时,由于外电场还不足以克服内电场对多数载流子扩散运动的阻力,因此,这时的正向电流几乎为零,二极管呈现的电阻较大(如图 1-7(a)、(b) 中的 OA 段),这个区域通常称为截止区。而当二极管两端的正向电压超过 U_{th} 以后,内电场被削弱,二极管电阻变得很小,正向电流按指数规律增长。导通以后硅二极管的正向压降(U_{on})约为 0.6~0.8 V,典型值一般取 0.7 V, 锗二极管的正向压降(U_{on})约为 0.2~0.3 V,典型值一般取 0.2 V。

2. 反向特性

在反向电压作用下,由本征激发(热激发)产生的少数载流子产生漂移运动,形成很小的反向饱和电流,其大小与反向电压几乎无关。如图 1-7(a)、(b)中的 OB 段。在常温下,硅管的反向饱和电流比锗管小得多,小功率硅管的反向饱和电流在 nA 数量级,小功率锗管的反向饱和电流在 μA 数量级。由正向及反向特性可知,二极管具有单向导电特性。

3. 反向击穿特性

反向电压在一定范围内时,反向电流很小,而且基本不随反向电压变化而变化,但当反向电压达到一定数值 U_{BR} 时,反向电流会突然急剧增加,这种现象叫做二极管的反向击穿,如图 1-7(a)、(b)中的 BC 段。 U_{BR} 称为二极管的反向击穿电压。

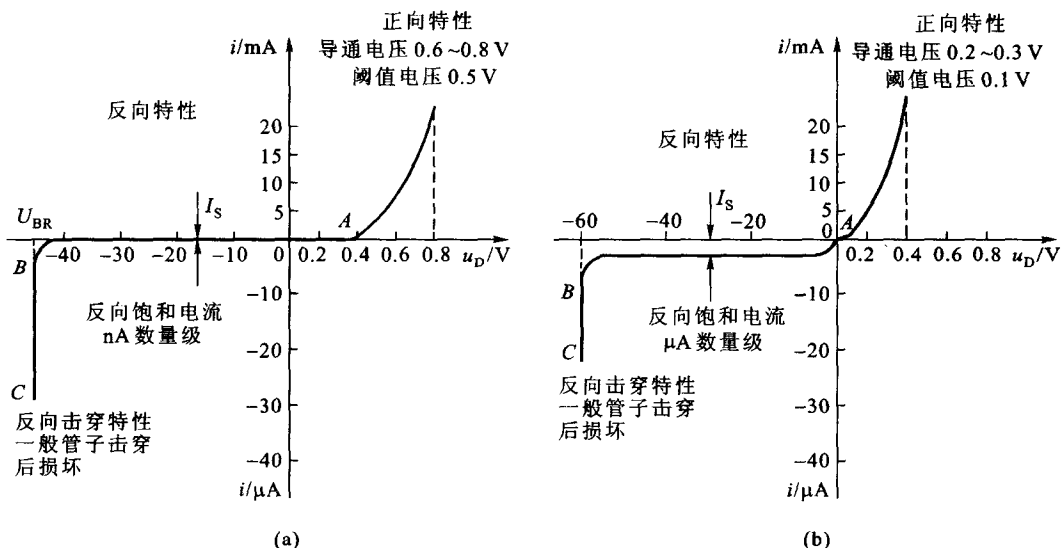


图 1-7 二极管的伏安特性曲线

(a) 硅二极管的伏安特性曲线 (b) 锗二极管的伏安特性曲线

反向击穿后,只要反向电流和反向电压的乘积(即二极管的耗散功率)不超过二极管允许的耗散功率,二极管一般不会被烧毁,反向电压撤销后,二极管仍能正常工作,这种击穿称为电击穿;若二极管的耗散功率超过二极管允许的耗散功率,则会导致 PN 结结温过高而烧坏,这种击穿是不可逆的,称为热击穿。因而通常二极管工作时,不允许工作在反向击穿状态,且为了保证二极管可靠地工作,一般取 U_{BR} 的 $\frac{1}{3} \sim \frac{1}{2}$ 作为其反向工作电压。

特别注意,温度对二极管的特性有显著影响,如图 1-8 所示。当温度升高时,正向特性曲线向左移,反向特性曲线向下移。变化规律是:在室温附近,温度每升高 1℃,正向压降约减小 2~2.5 mV,温度每升高 10℃,反向电流约增大一倍。

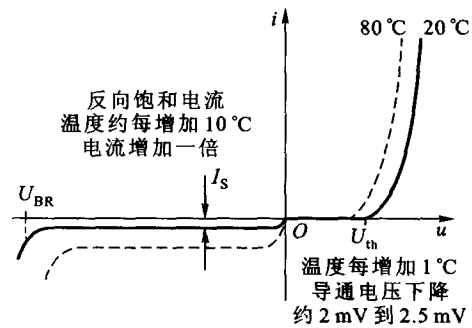


图 1-8 温度对二极管的伏安特性曲线的影响

三、二极管的主要参数

器件的参数是器件特性的定量描述,是合理选择和正确使用器件的依据。二极管有以下一些主要参数。

1. 最大整流电流 I_F

指管子长期工作时,允许通过的最大正向平均电流,由 PN 结的面积和散热条件所决定。例如 2AP1 型二极管的最大整流电流为 16 mA。实际应用时,流过二极管的平均电流不能超过 I_F ,否则会因电流太大,发热量超过限度而烧坏管子。

2. 最高反向工作电压 U_{RM}

指管子工作时所允许加的最高反向电压,超过此值二极管就有被反向击穿的危险。通常器件手册上给出的最高反向工作电压约为击穿电压 U_{BR} 的一半。例如 2AP1 型二极管的 U_{RM} 规定为 20 V,而 $U_{BR} > 40$ V。

3. 反向电流 I_R

指二极管未被击穿时的反向电流值。 I_R 越小,说明二极管的单向导电性能越好。 I_R 值会随温度的升高而急剧增加,使用时要特别注意温度的影响。

4. 二极管的结电容

二极管除具有单向导电性外,还具有一定的电容效应。二极管的结电容包括势垒电容 C_B 和扩散电容 C_D 两部分。

(1) 势垒电容 C_B

势垒电容是由耗尽层(空间电荷区)引起的。其大小与 PN 结上偏置电压的大小有关,所以它是一种非线性电容。一般情况下, C_B 为几皮法至一二百皮法。

(2) 扩散电容 C_D

扩散电容是由多数载流子在扩散过程中的积累引起的。 C_D 的大小随外加电压变化,也是一种非线性电容。一般情况下,势垒电容和扩散电容都很小,对低频特性影响不大,但工作频率很高时,就必须考虑二极管结电容的作用。

5. 最高工作频率 f_M

指保证二极管具有单向导电特性的最高工作频率。当工作频率超过 f_M 时,二极管的单向导电性能就会变差,甚至失去单向导电特性。 f_M 主要由 PN 结电容的大小决定。结电容越小,最高工作频率 f_M 越高。

器件的各主要参数可以从器件的手册上查到。但要说明的是,手册上所给的参数是在一定测试条件下测得的,应用时要注意这些条件。若条件改变,相应的参数值也会发生变化。

四、二极管电路的分析方法

由二极管的伏安特性曲线可见,二极管是一种非线性元件。要全面地、精确地描述一个实际的非线性元器件的特性是很复杂的。在实际工作中,往往根据不同的工作条件和要求,在分析精度允许的条件下,采用不同的模型来描述非线性元器件的电特性。

(一) 二极管模型

1. 理想模型

二极管理想模型如图 1-9 所示。正向偏置时,二极管导通,且其压降为零,相当于开关闭合;反向偏置时,二极管截止,流过它的电流为零,相当于开关断开。

当电路中的二极管正向压降远小于和它串联的电压时,常利用理想二极管模型代替实际二极管进行电路的分析计算。

2. 恒压降模型

当电路中的二极管正向压降可以和它串联的电压相比较时,可以采用图 1-10 所示的二极管恒压降模型来近似表示实际二极管。图(a)中的实线是恒压降模型的伏安特性曲线,图(b)为等效电路,其中正向压降取导通电压(通常硅二极管取 0.7 V,锗二极管取 0.2 V)。

显然,恒压降模型比理想模型更接近实际二极管的特性。要说明的是,只有当二极管的工作电流 $I \geq 1 \text{ mA}$ 时,才能用恒压降模型代替实际二极管。

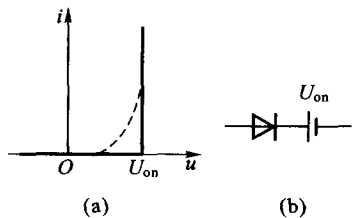


图 1-10 二极管恒压降模型
(a) 恒压降伏安特性曲线 (b) 等效电路

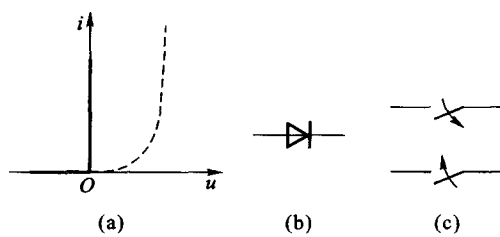


图 1-9 理想二极管模型
(a) 理想伏安特性曲线 (b) 代表符号 (c) 等效电路

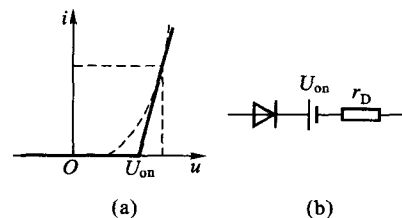


图 1-11 二极管折线模型
(a) 折线伏安特性曲线 (b) 等效电路

3. 折线模型

实际二极管的正向压降并不等于导通电压,而且正向压降也不是恒定不变的,它随二极管电流的增加而增加。为了进一步提高精度,可以采用图 1-11(a)所示的折线模型来近似表示实际的二极管。图 1-11(a)中为两段折线近似模拟二极管的伏安特性曲线,两段折线的交点处的电压值近似等于二极管导通电压,折线斜率的倒数为电阻 r_D 。图 1-11(b)是折线模型的等效电路。

(二) 应用举例

【例 1-1】 二极管电路如图 1-12(a)所示,其输入电压 $u_1(t)$ 的波形如图 1-12(b)所示。

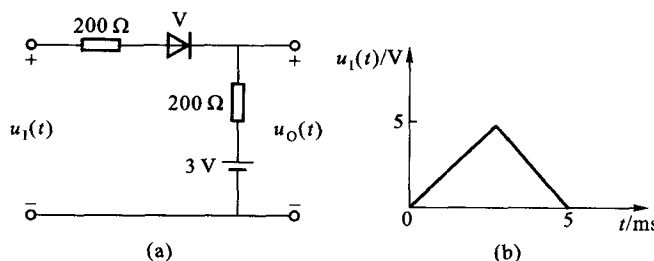


图 1-12 例 1-1 的电路图
(a) 电路图 (b) 输入电压 $u_1(t)$ 波形图

(1) 当考虑二极管为理想模型时,试绘出 $u_o(t)$ 的波形。

(2) 当考虑二极管为恒压模型时($U_{on} = 0.7$ V),试绘出 $u_o(t)$ 的波形。

(3) 当考虑二极管为折线模型时($U_{on} = 0.7$ V, $r_d = 25 \Omega$),试绘出 $u_o(t)$ 的波形。

解:(1) 当考虑二极管为理想模型时,根据二极管的单向导电性可知,当 $u_1(t) < 3$ V 时,二极管 V 截止, $u_o(t) = 3$ V。当 $u_1(t) \geq 3$ V 时,V 导通, $u_o(t) = \frac{u_1(t) - 3}{(200 + 200)\Omega} \times 200 \Omega + 3 = \frac{1}{2}u_1(t) + 1.5$ V, 当 $u_1(t) = 5$ V 时, $u_o(t) = 4$ V。由以上分析可绘出该电路输出电压 $u_o(t)$ 的波形如图 1-13 所示。

(2) 当考虑二极管为恒压模型时,其等效电路如图 1-14(a)所示。

当 $u_1(t) < 3.7$ V 时,二极管 V 截止, $u_o(t) = 3$ V。当 $u_1(t) \geq 3.7$ V 时, V 导通, $u_o(t) = \frac{u_1(t) - 3 - 0.7}{(200 + 200)\Omega} \times 200 \Omega + 3 = \frac{1}{2}u_1(t) + 1.15$ V, 当 $u_1(t) = 5$ V 时, $u_o(t) = 3.65$ V。由以上分析可绘出该电路输出电压 $u_o(t)$ 的波形如图 1-14(b)所示。

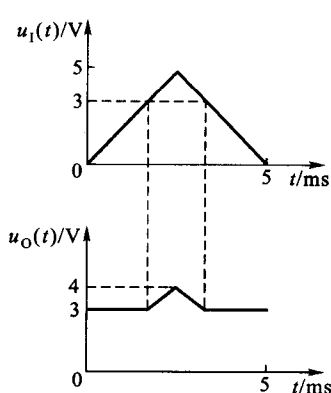


图 1-13 例 1-1(1) 的输出波形

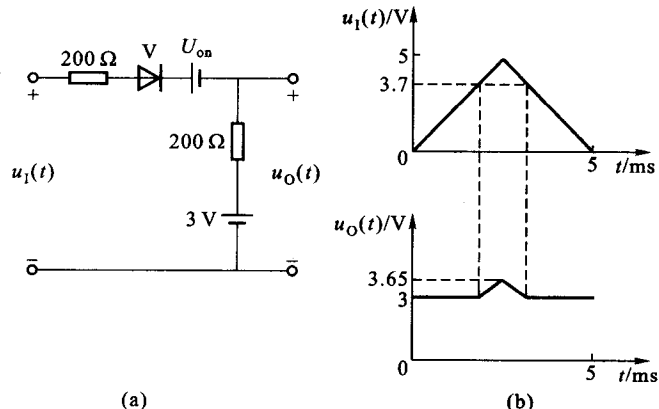


图 1-14 例 1-1 电路的恒压降等效电路及其输出波形

(a) 恒压降等效电路 (b) 输出波形 $u_o(t)$

(3) 当考虑二极管为折线模型时,其等效电路如图 1-15(a)所示。

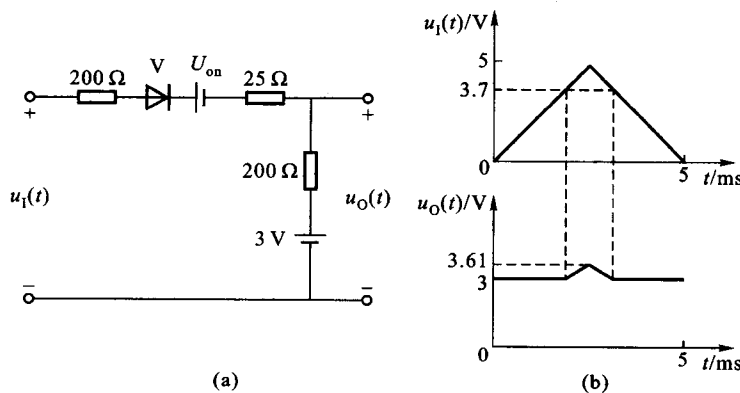


图 1-15 例 1-1 电路的折线等效电路及其输出波形

(a) 折线等效电路 (b) 输出波形 $u_o(t)$